



Зайцев Н.А.

Усеченные условия полной прозрачности на открытых границах в изотропных средах

**Рекомендуемая форма библиографической ссылки:** Зайцев Н.А. Усеченные условия полной прозрачности на открытых границах в изотропных средах // Препринты ИПМ им. М.В.Келдыша. 2012. № 88. 16 с. URL: <http://library.keldysh.ru/preprint.asp?id=2012-88>

РОССИЙСКАЯ АКАДЕМИЯ НАУК  
ИНСТИТУТ ПРИКЛАДНОЙ МАТЕМАТИКИ ИМ. М. В. КЕЛДЫША

Н. А. Зайцев

УСЕЧЕННЫЕ УСЛОВИЯ ПОЛНОЙ ПРОЗРАЧНОСТИ  
НА ОТКРЫТЫХ ГРАНИЦАХ В ИЗОТРОПНЫХ СРЕДАХ

Москва — 2012

Н. А. Зайцев. *Усеченные условия полной прозрачности на открытых границах в изотропных средах.*

**Аннотация.** В препринте приведены формулы Усеченных Условий Полной Прозрачности (УУПП) для изотропной упругой среды для всех границ трехмерной области, предложена методика модификации УУПП на ребрах и в вершинах расчетной области, предложена разностная схема для расчета УУПП, проведено сравнение УУПП с характеристическими граничными условиями, исследована зависимость амплитуды отраженной волны от размера расчетной области.

**Ключевые слова:** искусственные граничные условия, прозрачные граничные условия, изотропная упругая среда.

N. A. Zaitsev. *Truncated Transparent Boundary Conditions on Open Boundaries for Isotropic Elastic Media*

**Abstract.** Formulas for Truncated Transparent Boundary Conditions (TTBC) for isotropic media are presented for all boundaries of 3D computational domain. A method for modification of the TTBC at edges and vertexes of computational domains and the corresponding finite-difference scheme are suggested. The TTBC are compared to known characteristic boundary condition. Dependency of amplitude of the reflected wave on size of the computational domain is investigated.

**Key words:** far-field boundary conditions, transparent boundary conditions, isotropic elastic media.

Работа выполнена при финансовой поддержке Российского фонда фундаментальных исследований, проекты № 11-01-00114 и № 10-01-00567.

## Оглавление

1. Вводные замечания .....	3
2. УУПП для изотропной упругой среды .....	3
3. Общая идея разностной схемы .....	5
4. Разностная схема для УУПП на правой границе $x_1 = const$ .....	7
5. Разностная схема для УУПП на ребре .....	9
6. Разностная схема для УУПП в углах расчётной области .....	11
7. Сравнение УУПП с характеристическим ГУ .....	12
8. Зависимость отражения от размера расчетной области .....	14
Список литературы .....	16

## 1. Вводные замечания

Постановка условий полной прозрачности (УПП) на гладких внешних границах расчётной области разработана достаточно хорошо теоретически и технологически [1 – 4]. Для линейных задач с постоянными коэффициентами и простыми границами (сфера, окружность, прямая) коэффициенты оператора УПП могут зачастую быть вычислены аналитически [5 – 7]. Для задач с переменными коэффициентами или границами более сложной формы для вычисления коэффициентов оператора УПП необходимо решить численно определённое количество вспомогательных задач с очень высокой точностью (порядка  $10^{*-12}$ ) и выше). В результате полученный оператор УПП является полностью эквивалентным решению задачи во внешней отброшенной области. Эффективные методы решения таких задач разработаны в работах [1 – 4].

Тем не менее, такие расчёты являются весьма трудоёмкими. Основные усилия при построении УПП тратятся на отыскание нелокальной части оператора. В то же время, как показано в [8], для широкого класса гиперболических систем дифференциальная, т.е. локальная, часть оператора находится аналитически. В работе [8] предложено также рассматривать получаемые дифференциальные уравнения на границе в качестве приближенных УПП, что позволяет называть их усеченными условиями полной прозрачности (УУПП), которые получаются из УПП отбрасыванием нелокальной части оператора.

В настоящей работе разработан численный алгоритм реализации УУПП в трехмерных задачах для уравнений Навье, описывающих линейную упругую среду, и исследованы его свойства. Исследована зависимость величины отраженного сигнала от границ с УУПП, проведено сравнение с более простыми характеристическими граничными условиями.

## 2. УУПП для изотропной упругой среды

Предполагается, что в окрестности открытой границы расчетной области и всюду вне её распространение волн описывается уравнениями Ламе

$$\rho \frac{\partial^2 \vec{u}}{\partial t^2} = (\lambda + \mu) \text{grad div } \vec{u} + \mu \Delta \vec{u} \quad (1)$$

с постоянными коэффициентами Ламе  $\lambda$  и  $\mu$ , где  $\vec{u} = (u_1, u_2, u_3)^T$  — вектор перемещений. Тогда в точке границы  $x_1 = x_{\max} = \text{const}$  (расчетная область расположена слева от границы) УУПП имеет вид:

$$\begin{aligned}\frac{\partial u_1}{\partial t} + c_P \frac{\partial u_1}{\partial x_1} + (c_P - c_S) \frac{\partial u_2}{\partial x_2} + (c_P - c_S) \frac{\partial u_3}{\partial x_3} &= 0, \\ \frac{\partial u_2}{\partial t} + (c_P - c_S) \frac{\partial u_1}{\partial x_2} + c_S \frac{\partial u_2}{\partial x_1} &= 0, \\ \frac{\partial u_3}{\partial t} + (c_P - c_S) \frac{\partial u_1}{\partial x_3} + c_S \frac{\partial u_3}{\partial x_1} &= 0,\end{aligned}$$

где

$$c_P = \sqrt{\frac{\lambda + 2\mu}{\rho}}, \quad c_S = \sqrt{\frac{\mu}{\rho}},$$

$(x_1, x_2, x_3)$  — Декартовы координаты.

В матричной форме УУПП для границы  $x_n = \text{const}$  можно записать в следующем виде:

$$\frac{\partial \vec{u}}{\partial t} + B_{n1} \frac{\partial \vec{u}}{\partial x_1} + B_{n2} \frac{\partial \vec{u}}{\partial x_2} + B_{n3} \frac{\partial \vec{u}}{\partial x_3} = 0.$$

Матрицы граничного оператора УУПП для правых границ, т.е. для случая, когда граница проходит через точки расчетной области с максимальным значением  $x_n$ , имеют вид:

$$B_{11} = \begin{pmatrix} c_P & 0 & 0 \\ 0 & c_S & 0 \\ 0 & 0 & c_S \end{pmatrix}, \quad B_{12} = \begin{pmatrix} 0 & c_P - c_S & 0 \\ c_P - c_S & 0 & 0 \\ 0 & 0 & 0 \end{pmatrix}, \quad B_{13} = \begin{pmatrix} 0 & 0 & c_P - c_S \\ 0 & 0 & 0 \\ c_P - c_S & 0 & 0 \end{pmatrix}$$

$$B_{21} = \begin{pmatrix} 0 & c_P - c_S & 0 \\ c_P - c_S & 0 & 0 \\ 0 & 0 & 0 \end{pmatrix}, \quad B_{22} = \begin{pmatrix} c_S & 0 & 0 \\ 0 & c_P & 0 \\ 0 & 0 & c_S \end{pmatrix}, \quad B_{23} = \begin{pmatrix} 0 & 0 & 0 \\ 0 & 0 & c_P - c_S \\ 0 & c_P - c_S & 0 \end{pmatrix}$$

$$B_{31} = \begin{pmatrix} 0 & 0 & c_P - c_S \\ 0 & 0 & 0 \\ c_P - c_S & 0 & 0 \end{pmatrix}, \quad B_{32} = \begin{pmatrix} 0 & 0 & 0 \\ 0 & 0 & c_P - c_S \\ 0 & c_P - c_S & 0 \end{pmatrix}, \quad B_{33} = \begin{pmatrix} c_S & 0 & 0 \\ 0 & c_S & 0 \\ 0 & 0 & c_P \end{pmatrix}$$

Для левых границ эти матрицы умножаются на  $-1$ .

### 3. Общая идея разностной схемы

Пусть  $\nu$  — та координата  $x_n$ , которая перпендикулярна искусственной границе, а  $\tau_1$  и  $\tau_2$  — касательные к границе координаты. Тогда около границы  $\nu = const$  УУПП могут быть записаны следующим образом:

$$\frac{\partial u}{\partial t} + B_\nu \frac{\partial u}{\partial \nu} = R_\nu = -B_{\tau_1} \frac{\partial u}{\partial \tau_1} - B_{\tau_2} \frac{\partial u}{\partial \tau_2} \quad (2)$$

— слагаемые с касательными производными перенесены в правую часть (здесь и далее стрелки над векторами опущены).

В плоскости  $(\nu, t)$  УУПП аппроксимируются в полуцелой по времени и нормали точке (красная точка на рис 1, граница обозначена двойной штриховой линией,  $M$  — номер расчетной точки по направлению  $\nu$ , лежащей за искусственной границей, на рисунках искусственная граница расположена «справа» от расчетной области). Предполагается, что в синих, голубых и желтых точках решение на «новом»,  $n+1$ ом временном слое уже известны, нужно найти решение в зелёной точке. Производные по времени и нормали ( $\nu$ ) вычисляются по четырём точкам (по квадрату).

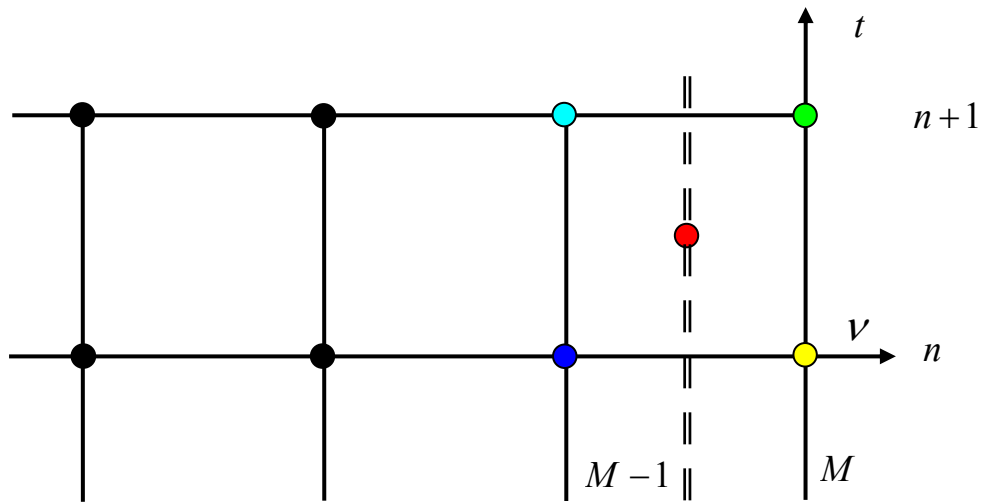


Рис.1. Шаблон разностной схемы в плоскости  $(\nu, t)$

Касательные производные аппроксимируются центральными разностями внизу справа (желтые точки, относятся к старому слою по времени) и вверху слева (голубые точки) и взвешиваются с весом  $w_n$  для слоя  $t = t^n$  (в приведенных в этой работе расчетах использовалось значение  $w_n = 0.5$ ). В плоскости  $(\tau, \nu)$  шаблон показан на рис. 2.

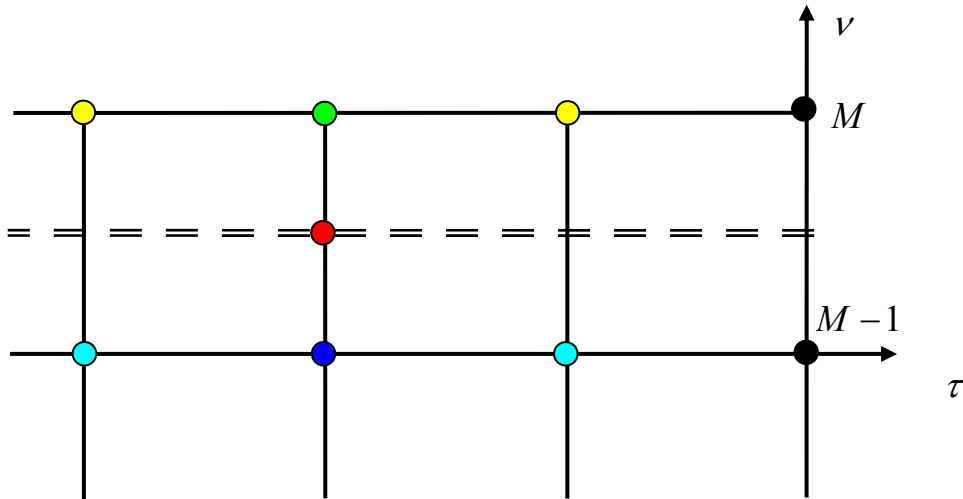


Рис. 2. Шаблон разностной схемы в плоскости  $(\tau, \nu)$

Вблизи ребра расчетной области аппроксимировать касательные производные центральными разностями нет возможности, т.к. в точках границы на новом временном слое решение еще неизвестно. В этом случае касательная производная на новом временном слое вычисляется по двум точкам, в которых решение известно, а на старом временном слое — по двум примыкающим к границе точкам, и эти значения взвешиваются с весом  $w_n$ . На рис. 3 показан шаблон разностной схемы при аппроксимации УУП на границе  $\nu_1 = const$  в соседней с границей  $\nu_2 = const$  точке.

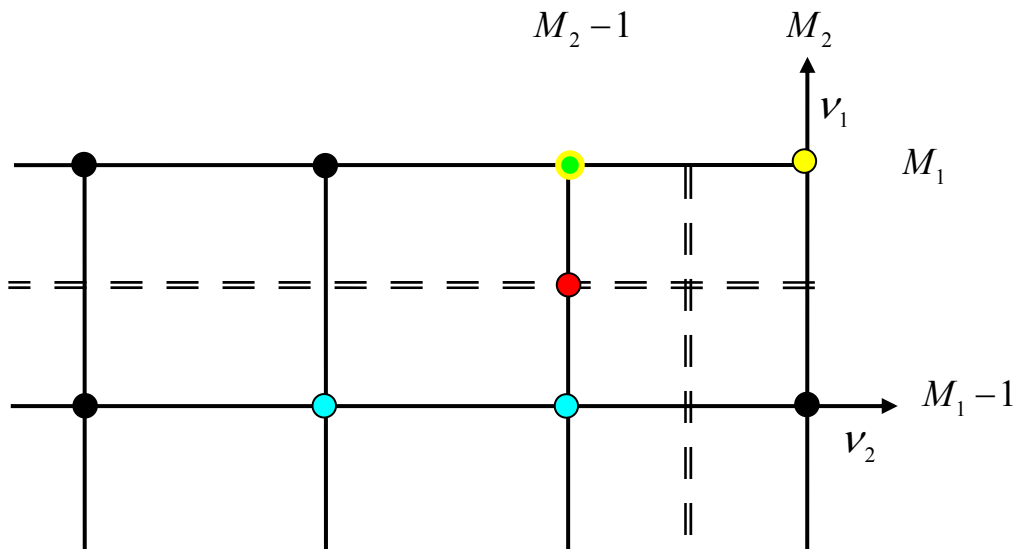


Рис. 3. Шаблон разностной схемы в плоскости  $(\nu_1, \nu_2)$

Решение в точке на ребре вычисляется после того, как посчитаны все точки вне рёбер. Это позволяет аппроксимировать производные в полужелой точке по обоим нормальным направлениям, оставаясь в рамках явного алгоритма.

На ребре расчетной области требуют изменения и сами УУПП. Нельзя не делать различий между матрицами при производных по нормали и по касательным: матрицами  $B_\nu$  и  $B_\tau$  имеют разные свойства. Разница между ними существенная: матрица при производной по нормали  $B_\nu$  устроена так, что обеспечивает распространение возмущений вдоль нормали к грани в одном направлении, из расчётной области наружу, и задача поставлена корректно. Матрица  $B_\tau$  при производной по касательной соответствует распространению возмущений вдоль направления  $\tau$  в обоих направлениях. Поэтому приписывание точки на ребре к одной из границ и использование касательных матриц неправильно, т.к. нарушает принцип причинности: решение на новом слое рассчитывается без использования направлений распространения информации с той стороны, которые подразумеваются решаемой системой дифференциальных уравнений. На ребре, где оба направления являются нормальными, нужно матрицу  $B_\tau$  заменить на соответствующую матрицу при производных по нормали к второй из образующих ребро грани.

Таким образом, в УУПП на ребре используются две матрицы при производной по нормали от УУПП на двух гранях расчетной области. Матрица при производной вдоль ребра видимого смысла не имеет, т.к. уравнения УУПП в [8] выводились фактически в предположении бесконечной плоской или бесконечной цилиндрической границы, что в окрестности ребра категорически не выполнено. Поэтому матрица при производной вдоль ребра считается равной нулю.

Вершины расчетной области, соответственно, рассчитываются после расчёта всех точек на рёбрах с использованием трех матриц при нормальных производных от трех УУПП на трёх гранях расчетной области.

#### 4. Разностная схема для УУПП на правой границе $x_1 = const$

Пусть численное решение  $u_{i,j,k}^n$  ищется в узлах равномерной сетки с пространственными шагами

$$h_1 = (x_1)_{i+1} - (x_1)_i, \quad h_2 = (x_2)_{j+1} - (x_2)_j, \quad h_3 = (x_3)_{k+1} - (x_3)_k,$$

шагом по времени  $\tau = t^{n+1} - t^n$ , разностная сетка равномерна по каждому направлению и следующими границами изменения индексов:

$$i = i_{\min}, \dots, i_{\max}; \quad j = j_{\min}, \dots, j_{\max}; \quad k = k_{\min}, \dots, k_{\max}.$$

Тогда на границе  $V \equiv x_1 = x_{\max} = \text{const}$  значение индекса расчетной точки на ней  $i = I = i_{\max}$ . Разностные формулы для аппроксимации производных в УУПП в точке  $(t^{n+1/2}, (x_1)_{I-1/2}, (x_2)_j, (x_3)_k)$  выглядят следующим образом:

$$\left( \frac{\partial u}{\partial t} \right)_{I-1/2, j, k}^{n+1/2} = \frac{u_{I, j, k}^{n+1} + u_{I-1, j, k}^{n+1} - u_{I, j, k}^n - u_{I-1, j, k}^n}{2\tau},$$

$$\left( \frac{\partial u}{\partial x_1} \right)_{I-1/2, j, k}^{n+1/2} = \frac{u_{I, j, k}^{n+1} - u_{I-1, j, k}^{n+1} + u_{I, j, k}^n - u_{I-1, j, k}^n}{2h_1}$$

при  $j = j_{\min} + 1, \dots, j_{\max} - 1, k = k_{\min} + 1, \dots, k_{\max} - 1,$

$$\left( \frac{\partial u}{\partial x_2} \right)_{I-1/2, j, k}^{n+1/2} = \frac{(1 - w_n)(u_{I-1, j+1, k}^{n+1} - u_{I-1, j-1, k}^{n+1}) + w_n(u_{I, j+1, k}^n - u_{I, j-1, k}^n)}{2h_2}$$

при  $j = j_{\min} + 2, \dots, j_{\max} - 2, k = k_{\min} + 1, \dots, k_{\max} - 1,$

$$\left( \frac{\partial u}{\partial x_2} \right)_{I-1/2, j, k}^{n+1/2} = \frac{(1 - w_n)(u_{I-1, j, k}^{n+1} - u_{I-1, j-1, k}^{n+1}) + w_n(u_{I, j+1, k}^n - u_{I, j, k}^n)}{h_2}$$

при  $j = j_{\max} - 1, k = k_{\min} + 1, \dots, k_{\max} - 1,$

$$\left( \frac{\partial u}{\partial x_2} \right)_{I-1/2, j, k}^{n+1/2} = \frac{(1 - w_n)(u_{I-1, j+1, k}^{n+1} - u_{I-1, j, k}^{n+1}) + w_n(u_{I, j, k}^n - u_{I, j-1, k}^n)}{h_2}$$

при  $j = j_{\min} + 1, k = k_{\min} + 1, \dots, k_{\max} - 1,$

$$\left( \frac{\partial u}{\partial x_3} \right)_{I-1/2, j, k}^{n+1/2} = \frac{(1 - w_n)(u_{I-1, j, k}^{n+1} - u_{I-1, j, k-1}^{n+1}) + w_n(u_{I, j, k+1}^n - u_{I, j, k}^n)}{h_3}$$

при  $j = j_{\min} + 1, \dots, j_{\max} - 1, k = k_{\min} + 2, \dots, k_{\max} - 2,$

$$\left( \frac{\partial u}{\partial x_3} \right)_{I-1/2, j, k}^{n+1/2} = \frac{(1 - w_n)(u_{I-1, j, k}^{n+1} - u_{I-1, j, k-1}^{n+1}) + w_n(u_{I, j, k+1}^n - u_{I, j, k}^n)}{h_3}$$

при  $j = j_{\min} + 1, \dots, j_{\max} - 1, k = k_{\max} - 1,$

$$\left( \frac{\partial u}{\partial x_3} \right)_{I-1/2, j, k}^{n+1/2} = \frac{(1 - w_n)(u_{I-1, j, k+1}^{n+1} - u_{I-1, j, k}^{n+1}) + w_n(u_{I, j, k}^n - u_{I, j, k-1}^n)}{h_3}$$

при  $j = j_{\min} + 1, \dots, j_{\max} - 1, k = k_{\min} + 1.$

Подстановка разностных производных в УУПП (2) даёт:

$$\frac{u_{I,j,k}^{n+1} + u_{I-1,j,k}^{n+1} - u_{I,j,k}^n - u_{I-1,j,k}^n}{2\tau} + B_\nu \frac{u_{I,j,k}^{n+1} - u_{I-1,j,k}^{n+1} + u_{I,j,k}^n - u_{I-1,j,k}^n}{2h_1} = (R_1)_{I-\frac{1}{2},j,k}^{n+1/2},$$

где

$$(R_1)_{I-\frac{1}{2},j,k}^{n+1/2} = -B_{1,2} \left( \frac{\partial u}{\partial x_2} \right)_{I-\frac{1}{2},j,k}^{n+1/2} - B_{1,3} \left( \frac{\partial u}{\partial x_3} \right)_{I-\frac{1}{2},j,k}^{n+1/2}.$$

Тогда

$$u_{I,j,k}^{n+1} = \left( \frac{1}{2\tau} E + \frac{1}{2h_1} B_{1,1} \right)^{-1} Q_1, \quad j = j_{\min} + 1, \dots, j_{\max} - 1; \quad k = k_{\min} + 1, \dots, k_{\max} - 1;$$

$$Q_1 = \left[ (R_1)_{I-1/2,j,k}^{n+1/2} - \frac{u_{I-1,j,k}^{n+1} - u_{I,j,k}^n - u_{I-1,j,k}^n}{2\tau} - B_{1,1} \frac{-u_{I-1,j,k}^{n+1} + u_{I,j,k}^n - u_{I-1,j,k}^n}{2h_1} \right].$$

Разностные формулы на остальных гранях расчетной области имеют аналогичный вид.

## 5. Разностная схема для УУПП на ребре

На всех гранях расчетной области УУПП имеют вид:

$$\frac{\partial u}{\partial t} + B_{n,1} \frac{\partial u}{\partial x_1} + B_{n,2} \frac{\partial u}{\partial x_2} + B_{n,3} \frac{\partial u}{\partial x_3} = 0,$$

где  $n$  — номер координаты, которая пересекает границу.

На грани  $i = I$  УУПП имеют вид:

$$\frac{\partial u}{\partial t} + B_{1,1} \frac{\partial u}{\partial x_1} + B_{1,2} \frac{\partial u}{\partial x_2} + B_{1,3} \frac{\partial u}{\partial x_3} = 0,$$

на грани  $j = J$  уравнения имеют вид:

$$\frac{\partial u}{\partial t} + B_{2,1} \frac{\partial u}{\partial x_1} + B_{2,2} \frac{\partial u}{\partial x_2} + B_{2,3} \frac{\partial u}{\partial x_3} = 0.$$

Поэтому на ребре  $i = I, j = J$  УУПП имеют вид:

$$\frac{\partial u}{\partial t} + B_{1,1} \frac{\partial u}{\partial x_1} + B_{2,2} \frac{\partial u}{\partial x_2} = 0. \quad (3)$$

Производные для  $k = k_{\min} + 1, \dots, k_{\max} - 1$  аппроксимируются следующим образом:

$$\begin{aligned} \left( \frac{\partial u}{\partial t} \right)_{I-\frac{1}{2}, J-\frac{1}{2}, k}^{n+1/2} &= \frac{u_{I,J,k}^{n+1} + u_{I-1,J,k}^{n+1} + u_{I,J-1,k}^{n+1} + u_{I-1,J-1,k}^{n+1}}{4\tau} - \\ &\quad \frac{u_{I,J,k}^n + u_{I-1,J,k}^n + u_{I,J-1,k}^n + u_{I-1,J-1,k}^n}{4\tau}, \\ \left( \frac{\partial u}{\partial x_1} \right)_{I-\frac{1}{2}, J-\frac{1}{2}, k}^{n+1/2} &= \frac{u_{I,J,k}^{n+1} + u_{I,J-1,k}^{n+1} + u_{I,J,k}^n + u_{I,J-1,k}^n}{4h_1} - \\ &\quad \frac{u_{I-1,J,k}^{n+1} + u_{I-1,J-1,k}^{n+1} + u_{I-1,J,k}^n + u_{I-1,J-1,k}^n}{4h_1}, \\ \left( \frac{\partial u}{\partial x_2} \right)_{I-\frac{1}{2}, J-\frac{1}{2}, k}^{n+1/2} &= \frac{u_{I,J,k}^{n+1} + u_{I-1,J,k}^{n+1} + u_{I,J,k}^n + u_{I-1,J,k}^n}{4h_2} - \\ &\quad \frac{u_{I,J-1,k}^{n+1} + u_{I-1,J-1,k}^{n+1} + u_{I,J-1,k}^n + u_{I-1,J-1,k}^n}{4h_2}. \end{aligned}$$

Подстановка разностных производных в УУПП (3) даёт:

$$u_{I,J,k}^{n+1} = \left( \frac{1}{\tau} E + \frac{1}{h_1} B_{1,1} + \frac{1}{h_2} B_{2,2} \right)^{-1} Q_{1,2},$$

где  $k = k_{\min} + 1, \dots, k_{\max} - 1$ ,

$$\begin{aligned} Q_{1,2} &= - \frac{u_{I-1,J,k}^{n+1} + u_{I,J-1,k}^{n+1} + u_{I-1,J-1,k}^{n+1} - u_{I,J,k}^n - u_{I-1,J,k}^n - u_{I,J-1,k}^n - u_{I-1,J-1,k}^n}{\tau} \\ &\quad - B_{1,1} \frac{u_{I,J-1,k}^{n+1} + u_{I,J,k}^n + u_{I,J-1,k}^n - u_{I-1,J,k}^{n+1} - u_{I-1,J-1,k}^{n+1} - u_{I-1,J,k}^n - u_{I-1,J-1,k}^n}{h_1} \\ &\quad - B_{2,2} \frac{u_{I-1,J,k}^{n+1} + u_{I,J,k}^n + u_{I-1,J,k}^n - u_{I,J-1,k}^{n+1} - u_{I-1,J-1,k}^{n+1} - u_{I,J-1,k}^n - u_{I-1,J-1,k}^n}{h_2}. \end{aligned}$$

Решение на остальных рёбрах расчётной области вычисляется аналогично.

## 6. Разностная схема для УУПП в углах расчётной области

В углах (вершинах) расчетной области используются три матрицы при нормальных производных от УУПП на трёх гранях расчетной области. В вершине ( $i = I, j = J, k = K$ ) УУПП имеют вид:

$$\frac{\partial u}{\partial t} + B_{1,1} \frac{\partial u}{\partial x_1} + B_{2,2} \frac{\partial u}{\partial x_2} + B_{3,3} \frac{\partial u}{\partial x_3} = 0. \quad (4)$$

Производные в уравнении (4) для вершины ( $i = I, j = J, k = K$ ) аппроксимируются следующим образом:

$$\left( \frac{\partial u}{\partial t} \right)_{i-\frac{1}{2}, j-\frac{1}{2}, k-\frac{1}{2}}^{n+1/2} = \frac{u_{i,j,k}^{n+1} + u_{i-1,j,k}^{n+1} + u_{i,j-1,k}^{n+1} + u_{i,j,k-1}^{n+1} + u_{i,j-1,k-1}^{n+1} + u_{i-1,j,k-1}^{n+1} + u_{i-1,j-1,k}^{n+1} + u_{i-1,j-1,k-1}^{n+1}}{8\tau} - \frac{u_{i,j,k}^n + u_{i-1,j,k}^n + u_{i,j-1,k}^n + u_{i,j,k-1}^n + u_{i,j-1,k-1}^n + u_{i-1,j,k-1}^n + u_{i-1,j-1,k}^n + u_{i-1,j-1,k-1}^n}{8\tau},$$

$$\left( \frac{\partial u}{\partial x_1} \right)_{i-\frac{1}{2}, j-\frac{1}{2}, k-\frac{1}{2}}^{n+1/2} = \frac{u_{i,j,k}^{n+1} + u_{i,j-1,k}^{n+1} + u_{i,j,k-1}^{n+1} + u_{i,j-1,k-1}^{n+1} + u_{i,j,k}^n + u_{i,j-1,k}^n + u_{i,j,k-1}^n + u_{i,j-1,k-1}^n}{8h_1} - \frac{u_{i-1,j,k}^{n+1} + u_{i-1,j-1,k}^{n+1} + u_{i-1,j,k-1}^{n+1} + u_{i-1,j-1,k-1}^{n+1} + u_{i-1,j,k}^n + u_{i-1,j-1,k}^n + u_{i-1,j,k-1}^n + u_{i-1,j-1,k-1}^n}{8h_1},$$

$$\left( \frac{\partial u}{\partial x_2} \right)_{i-\frac{1}{2}, j-\frac{1}{2}, k-\frac{1}{2}}^{n+1/2} = \frac{u_{i,j,k}^{n+1} + u_{i-1,j,k}^{n+1} + u_{i,j,k-1}^{n+1} + u_{i-1,j,k-1}^{n+1} + u_{i,j,k}^n + u_{i-1,j,k}^n + u_{i,j,k-1}^n + u_{i-1,j,k-1}^n}{8h_2} - \frac{u_{i,j-1,k}^{n+1} + u_{i-1,j-1,k}^{n+1} + u_{i,j-1,k-1}^{n+1} + u_{i-1,j-1,k-1}^{n+1} + u_{i,j-1,k}^n + u_{i-1,j-1,k}^n + u_{i,j-1,k-1}^n + u_{i-1,j-1,k-1}^n}{8h_2},$$

$$\left( \frac{\partial u}{\partial x_3} \right)_{i-\frac{1}{2}, j-\frac{1}{2}, k-\frac{1}{2}}^{n+1/2} = \frac{u_{i,j,k}^{n+1} + u_{i-1,j,k}^{n+1} + u_{i,j-1,k}^{n+1} + u_{i-1,j-1,k}^{n+1} + u_{i,j,k}^n + u_{i-1,j,k}^n + u_{i,j-1,k}^n + u_{i-1,j-1,k}^n}{8h_3} - \frac{u_{i,j,k-1}^{n+1} + u_{i-1,j,k-1}^{n+1} + u_{i,j-1,k-1}^{n+1} + u_{i-1,j-1,k-1}^{n+1} + u_{i,j,k-1}^n + u_{i-1,j,k-1}^n + u_{i,j-1,k-1}^n + u_{i-1,j-1,k-1}^n}{8h_3}.$$

Решение в вершине ( $i = I, j = J, k = K$ ) рассчитывается по следующей формуле:

$$u_{i,j,k}^{n+1} = \left( \frac{1}{\tau} E + \frac{B_{1,1}}{h_1} + \frac{B_{2,2}}{h_2} + \frac{B_{3,3}}{h_3} \right)^{-1} \left( \frac{1}{\tau} d_{0,0} - \frac{B_{1,1}}{h_1} d_{1,1} - \frac{B_{2,2}}{h_2} d_{2,2} - \frac{B_{3,3}}{h_3} d_{3,3} \right),$$

где

$$d_{0,0} = u_{i,j,k}^n + u_{i-1,j,k}^n + u_{i,j-1,k}^n + u_{i,j,k-1}^n + u_{i,j-1,k-1}^n + u_{i-1,j,k-1}^n + u_{i-1,j-1,k}^n + u_{i-1,j-1,k-1}^n - u_{i-1,j,k}^{n+1} - u_{i,j-1,k}^{n+1} - u_{i,j,k-1}^{n+1} - u_{i,j-1,k-1}^{n+1} - u_{i-1,j,k-1}^{n+1} - u_{i-1,j-1,k}^{n+1} - u_{i-1,j-1,k-1}^{n+1};$$

$$d_{1,1} = u_{i,j-1,k}^{n+1} + u_{i,j,k-1}^{n+1} + u_{i,j-1,k-1}^{n+1} + u_{i,j,k}^n + u_{i,j-1,k}^n + u_{i,j,k-1}^n + u_{i,j-1,k-1}^n - u_{i-1,j,k}^{n+1} - u_{i-1,j-1,k}^{n+1} - u_{i-1,j,k-1}^{n+1} - u_{i-1,j,k}^n - u_{i-1,j-1,k}^n - u_{i-1,j,k-1}^n - u_{i-1,j-1,k-1}^n;$$

$$d_{2,2} = u_{i-1,j,k}^{n+1} + u_{i,j,k-1}^{n+1} + u_{i-1,j,k-1}^{n+1} + u_{i,j,k}^n + u_{i-1,j,k}^n + u_{i,j,k-1}^n + u_{i-1,j,k-1}^n - u_{i,j-1,k}^{n+1} - u_{i-1,j-1,k}^{n+1} - u_{i-1,j-1,k-1}^{n+1} - u_{i,j-1,k}^n - u_{i-1,j-1,k}^n - u_{i,j-1,k-1}^n - u_{i-1,j-1,k-1}^n;$$

$$d_{3,3} = u_{i-1,j,k}^{n+1} + u_{i,j-1,k}^{n+1} + u_{i-1,j-1,k}^{n+1} + u_{i,j,k}^n + u_{i-1,j,k}^n + u_{i,j-1,k}^n + u_{i-1,j-1,k}^n - u_{i,j,k-1}^{n+1} - u_{i-1,j,k-1}^{n+1} - u_{i,j-1,k-1}^{n+1} - u_{i,j,k-1}^n - u_{i-1,j,k-1}^n - u_{i,j-1,k-1}^n - u_{i-1,j-1,k-1}^n.$$

Решение в остальных вершинах вычисляется аналогично.

## 7. Сравнение УУПП с характеристическим ГУ

Для выяснения качества УУПП было проведено сравнение граничного условия (2) с граничным условием

$$\frac{\partial u}{\partial t} + B_v \frac{\partial u}{\partial v} = 0, \quad (5)$$

которое отличается от условия (2) отбрасыванием слагаемых с касательными к границе производными. Это граничное условие известно в литературе как условие Клейтона-Энквиста первого рода (см., например, [9]).

Решалась следующая задача: упругая среда с параметрами  $\lambda = 14$ ,  $\mu = 2$ ,  $\rho = 2$ ,  $c_p = 3$ ,  $c_s = 1$ , заполняющая куб со стороной ребра 2, в начальный момент времени находилась в покое. В начальный момент времени включается источник в правой части уравнения Ламе (1) следующего вида:

$$S = \frac{10^5}{2} \nabla \exp \left( -(\vec{r} - \vec{r}_0)^2 / 0.32 - (t - t_0)^2 / 0.0032 \right),$$

где  $\vec{r} = (x, y, z)$ ,  $\vec{r}_0 = (1, 1, 1)/2$ ,  $t_0 = 0.05$ . Всюду на границах расчетной области ставились УУПП за исключением границы  $x \equiv x_1 = x_{\max}$ , на которой ставилось условие (5).

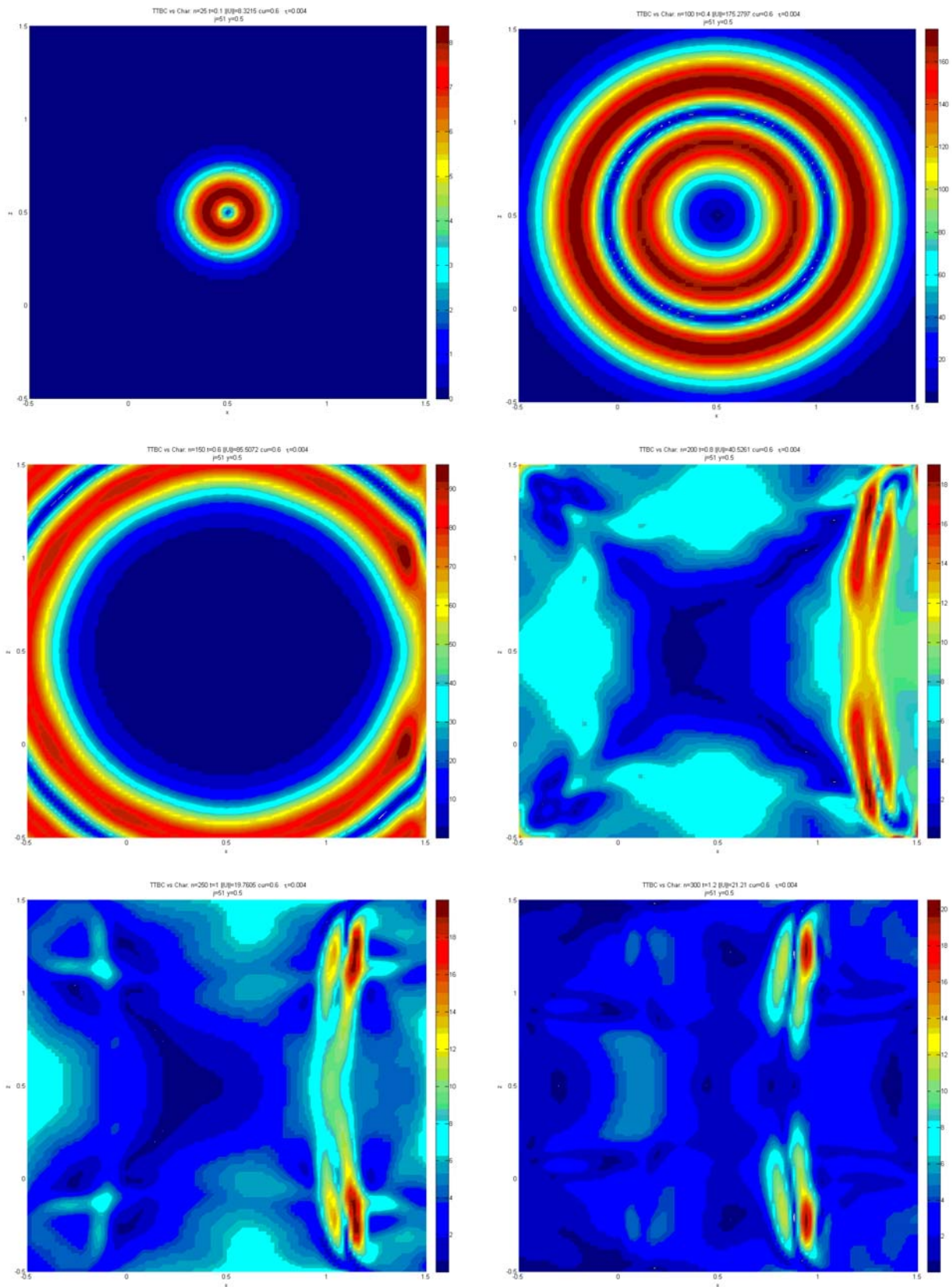


Рис. 4. Поле модуля вектора  $\mathbf{u}$  в срединном сечении расчетной области в различные моменты времени:  $t = 0.1$ ,  $t = 0.4$ ,  $t = 0.6$ ,  $t = 0.8$ ,  $t = 1.0$ ,  $t = 1.2$

На рис. 4 показано поле модуля вектора  $u$  в срединном сечении расчетной области в различные моменты времени:  $t=0.1$ ,  $t=0.4$ ,  $t=0.6$ ,  $t=0.8$ ,  $t=1.0$ ,  $t=1.2$ . Видно, что решение, которое в начальные моменты времени было симметричным, после взаимодействия с границей  $x=x_{\max}$ , на котором поставлено условие (5), теряет свою симметрию, разбегающаяся от центра расчетной области сферическая волна отражается от правой границы видимым образом. Отражение от границ с УУПП тоже есть (должно быть), но оно практически незаметно в сравнении с отражением от границы с характеристическим граничным условием.

## 8. Зависимость отражения от размера расчетной области

Для выяснения зависимости амплитуды отраженной волны от границы с УУПП, приходящей в фиксированную точку расчетной области, от размеров расчетной области была проведена серия расчетов с фиксированным шагом расчетной сетки в областях различного размера.

Расчеты проводились на сетке с постоянным шагом  $h_x = h_y = h_z = 10$ , центр источника находился в центре расчетной области, ресивер (приёмник) находился в самом сложном для искусственных ГУ направлении, на диагонали расчетной области:  $x_R = y_R = z_R = 500$ . Расчеты проводились в кубических областях с расстоянием от центра до грани куба 1000, 2000 и 4000.

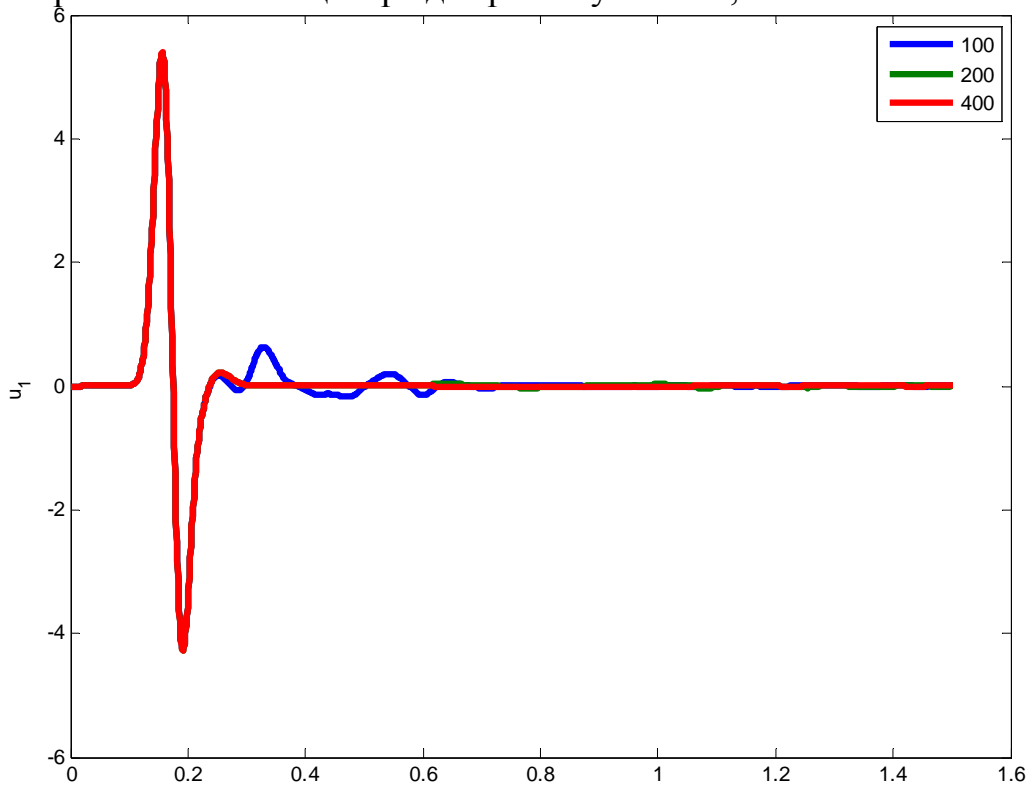


Рис. 5. Зависимость решения в ресивере от времени для различных областей: 100, 200 и 400 ячеек от центра до границы расчетной области.

На рис. 5 показана зависимость  $u_1(t)$  в ресивере для различных областей. Т.к. сетки в расчетных областях совпадают, то отличие решений может быть обусловлено только различием отражения от границы. Вычитание из решения в меньшей области решение в большей области дает ошибку вызванную отражением от границы (пока в решении в большей области тоже не скажется отражение, но оно приходит позже). Графики из рис. 5 показаны в увеличенном масштабе на рис. 6, где отчетливо видна амплитуда отраженного сигнала.

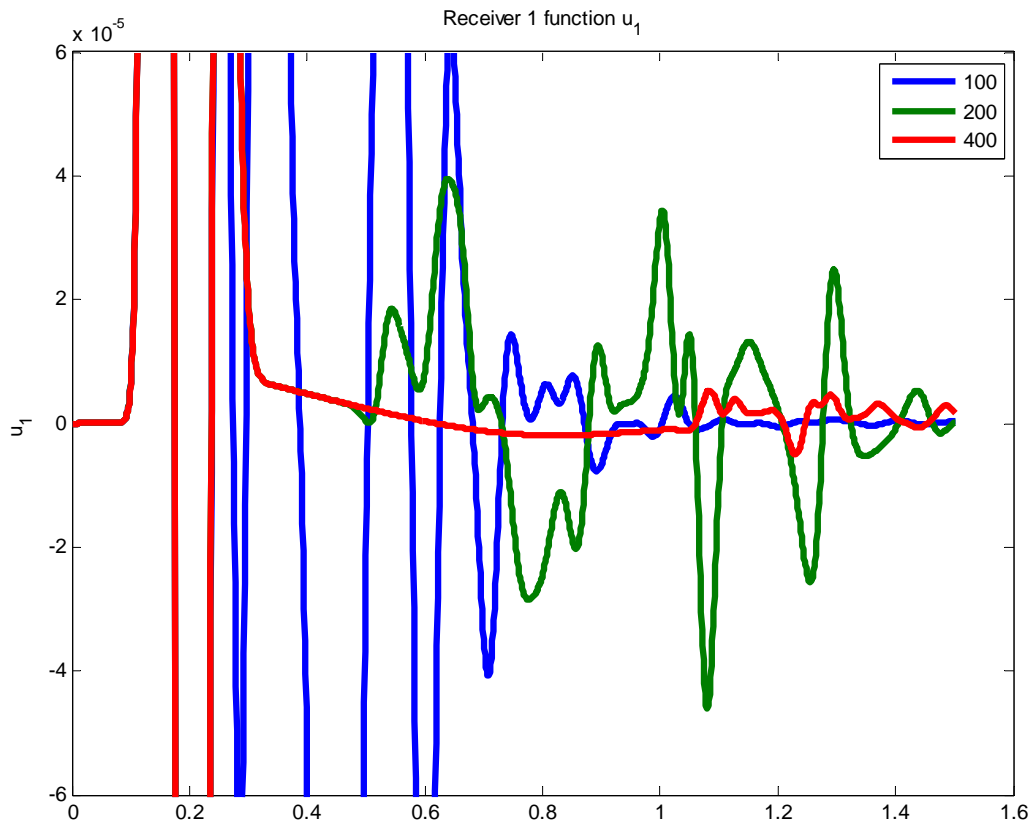


Рис. 6. Зависимость решения в ресивере от времени для различных областей: 100, 200 и 400 ячеек от центра до границы расчетной области (в увеличенном масштабе)

Полученные таким образом амплитуды отражения от границ приведены в Таблице 1. Из полученных результатов следует, что при увеличении области в 2 раза, амплитуда отраженной от границы с УУПП волны убывает примерно в 10 раз.

Таблица 1

Расстояние от центра до границы расчетной области	Максимальная относительная величина $u_1$ в отраженной волне
1000	1.1e-01
2000	9.3e-03
4000	9.8e-04

## Список литературы

1. Sofronov, I. L., N. A. Zaitsev, Non-reflecting boundary conditions for 2D anisotropic elastodynamics, ПАММ, v. 6, Iss. 1, 611 – 612 (2007)
2. Зайцев Н. А., Софронов И. Л., Применение прозрачных граничных условий для решения двумерных задач упругости с азимутальной анизотропией, Матем. моделирование, т. 19, №8, 49 – 54 (2007)
3. Sofronov I.L., Zaitsev N.A., Transparent boundary conditions for the elastic waves in anisotropic media, Hyperbolic Problems: Theory, Numerics, Applications. Eds. Benzoni-Gavage, Serre. Springer Verlag, pp. 997–1004 (2008)
4. [Sofronov I.L., Zaitsev N.A., Numerical generation of transparent boundary conditions on the side surface of a vertical transverse isotropic layer](#), Journal of Computational and Applied Mathematics, Online publication: 21-AUG-2009; V. 234, Issue 6 ,1732 – 1738 (2010)
5. Софронов И.Л., Условия полной прозрачности на сфере для трехмерного волнового уравнения, ДАН, 1992, т. 326, № 6, стр. 453 – 457
6. Sofronov, I. L. Non-reflecting inflow and outflow in wind tunnel for transonic time-accurate simulation, J. Math. Anal. Appl., V. 221, (1998) 92 – 115.
7. Sofronov, I. L. Artificial boundary conditions of absolute transparency for two- and three-dimensional external time-dependent scattering problems, Euro. J. Appl. Math., V.9, No.6 (1998) 561 – 588.
8. Софронов И.Л. Дифференциальная часть прозрачных граничных условий для некоторых гиперболических систем уравнений второго порядка. — ДАН, 2009, том 426, № 5, с. 602 – 604.
9. Higdon R. L. Absorbing boundary conditions for elastic waves, Geophysics, vol. 56, № 2, с. 231 – 241.